



توسعه و پیاده‌سازی مدل ساختار مصرف بالا در سوخت اورانیم دی‌اکساید به‌منظور آنالیز رفتار گازهای حاصل از شکافت

محمد‌هادی پرهمت^{۱*}، مهدی عباسی^۲

۱. گروه شبیه‌سازی چندمقیاسی- چند فیزیکی و آنالیز محاسباتی، مؤسسه تحقیقات پیشرفت شبیه‌سازی و جاسازی، صندوق پستی: ۱۴۳۹۹۵-۵۹۳۱، تهران- ایران

۲. پژوهشکده رآکتور و اینمنی هسته‌ای، پژوهشگاه علوم و فنون هسته‌ای، سازمان انرژی اتمی ایران، صندوق پستی: ۱۴۳۹۹۵-۸۳۶، تهران- ایران

*Email: abbsi.mahdi64@gmail.com

مقاله پژوهشی

تاریخ دریافت مقاله: ۱۴۰۲/۸/۲۲ تاریخ بازنگری مقاله: ۱۴۰۳/۱/۲۸ تاریخ پذیرش مقاله: ۱۴۰۳/۲/۲

چکیده

از نظر اقتصادی افزایش مصرف سوخت (بالاتر از 50 GWd/t) میله‌های رآکتورهای هسته‌ای و در پی آن افزایش طول سیکل کاری رآکتور، یک نیروی محرکه قوی برای گنجاندن مدل‌های مصرف بالای سوخت در توسعه کدهای تحلیل عملکرد سوخت می‌باشد. در این تحقیق، به منظور بررسی رفتار گازهای حاصل از شکافت برای ساختار مصرف بالای سوخت دو مدل نیمه‌تجربی برای توصیف تشکیل مصرف بالای سوخت (HBS) در کد محاسباتی MSFGR-۰۲ (HBS) برای تحلیل رفتار گاز شکافت در مقیاس مزو (میانی)، پیاده‌سازی شده است، که شامل فرایند چندضلعی شدن/ تبلور مجدد و تخلیه گاز شکافت درون‌دانه‌ای است. برای این منظور، با استفاده از داده‌های موجود در مراجع برای اندازه دانه (اندازه‌گیری شده با پردازش تصویری) در موقعیت‌های شعاعی که در آن تغییر ساختار اتفاق افتاده است، رابطه نیمه‌تجربی برای اندازه شعاع دانه و همچنین میزان حجم تغییر ساختار یافته در سوخت برحسب مصرف سوخت ارائه شده است. در نهایت تغییرات میزان غلظت گاز حاصل از شکافت در طول دوره تابش تا رسیدن به مصرف بالای سوخت با داده‌های تجربی ارائه شده در مراجع مقایسه گردید که حاکی از قابل قبول بودن نتایج می‌باشد.

کلیدواژه‌ها: مصرف بالای سوخت، تبلور مجدد، رهایش گاز حاصل از شکافت، عملکرد سوخت هسته‌ای

Development and implementation of high burnup structure model in nuclear fuels to analyze the behavior of fission gases

M.H. Porhemmat^{1,2}, M. Abbasi^{*1}

1. Department of Multiscale Simulation-Multiphysics and Computational Analysis, Advanced Research Institute of Simulation and Separation, P.O.Box:143995-5931, Tehran-Iran
2. Reactor and Nuclear Safety Research School, Nuclear Science and Technology Research Institute, AEOI, P.O.BOX: 14395-836, Tehran – Iran

Research Article

Received: 13.11.2023,

Revised: 16.4.2024, Accepted: 21.4.2024

Abstract

From an economic perspective, increasing nuclear fuel burnup (up to 50 GWd/t) and thereby extending reactor cycles are compelling reasons to develop models that incorporate High Burnup Structure (HBS) phenomena into fuel performance codes. This research focuses on investigating the behavior of fission gases within HBS by implementing two semi-empirical models in the MSFGR-02 code. These models describe the formation of HBS, encompassing polygonization (recrystallization) and the release of intra-granular fission gas. The study utilizes grain size measurements obtained from references and applies them to radial positions where data reconstruction was incomplete. This approach yields semi-empirical relationships for grain radius size and restructured volumetric fraction as functions of fuel burnup. Comparisons between changes in fission gas concentration during irradiation until HBS formation and experimental data from references demonstrate acceptable agreement.

Keywords: High fuel burnup, Recrystallization, Fission gas release, Nuclear fuel performance



متوسط مصرف سوخت می‌توان با تقریب نسبتاً خوبی یک توزیع یکنواخت برای سوخت هسته‌ای در نظر گرفت، لذا بررسی شعاعی ساختار منطقه لبه ضرورت ندارد. مقدار آستانه برای ایجاد ضرورت در بررسی منطقه لبه در سوخت هسته‌ای اکسید اورانیم در حدود GWd/t_{UO_2} ۶۰ می‌باشد. این مقدار مصرف سوخت در منطقه لبه با مصرف متوجه GWd/t_{UO_2} ۴۵-۴۰ به دست می‌آید. فراتر از این آستانه، عرض ناحیه لبه با پیشرفت تابش افزایش می‌یابد [۱].

از مهمترین تغییراتی که در منطقه لبه و در مصرف سوخت بالا اتفاق می‌افتد، تغییر در ابعاد دانه‌بندی سوخت و تشکیل ریزساختارهای اولیه^۲ با ابعاد زیر میکرون از دانه‌های چندین میکرون می‌باشد. با ایجاد ریزساختارهای سوخت در مصرف سوخت بالا، انتقال گازهای زنون از درون دانه به مرزدانه با سرعت بیشتری انجام شده که این پدیده را تهی شدن زنون^۳ می‌نامند. همچنین ایجاد تخلخل‌های چندین میکرونی از ساختارهای ریز اولیه (زیر میکرون) یکی دیگر از تغییرات اساسی در منطقه لبه در اثر مصرف سوخت بالا است. به طور کلی این تغییرات ساختاری پدیدار شده در منطقه لبه، پدیده ساختار مصرف بالا (HBS^۴) نامیده می‌شوند، که به طور خلاصه با مشخصات زیر شناسایی می‌شود:

۱. تهی شدن Xe^{16} از ماتریس سوخت

۲. درشت شدن تخلخل گازهای شکافت به ابعاد میکرومتر.

۳. تبلور مجدد در ساختار کریستالی سوخت و ریز شدن دانه‌ها به فرایند HBS اثر لبه نیز گفته می‌شود، زیراکه آغاز این فرایند از نزدیک لایه خارجی سوخت (منطقه لبه) در رآکتورهای آب سبک (LWR) مشاهده شده است. قابل ذکر است که این پدیده علاوه بر سوخت UO_2 ، در انواع سوخت‌های دیگر به ویژه سوخت‌های MOX مانند U-Pu و نیز سوخت‌های کاربیدی در رآکتورهای زاینده سریع (FBR^۵)، مشاهده شده است.

تاکنون چندین مدل نیمه‌تجربی و مکانیکی برای توصیف فرایند HBS و تأثیر آن بر عملکرد سوخت، مورد بررسی قرار گرفته است. لاسمن^۶ و همکاران در سال ۱۹۹۲ یک مدل نیمه‌تجربی را برای تعیین رفتار گاز زنون در حال تهی شدن در نظر گرفته‌اند. در این مدل از یکتابع‌نمایی نیمه‌تجربی برحسب مصرف سوخت برای بیان کمی کاهش غلظت گاز زنون

۱. مقدمه

گازهای خنثی زنون و کریپتون از محصولات شکافت سوخت UO_2 می‌باشند که تأثیر بسزایی در عملکرد میله‌های سوخت در رآکتورهای هسته‌ای ایفا می‌کنند. گاز حاصل از شکافت که عمدتاً زنون و کریپتون است، از طریق شکافت در دانه‌های سوخت هسته‌ای تولید می‌شوند. متعاقباً، جمعیتی از حباب‌های درون‌دانه‌ای تشکیل می‌شوند که اتم‌ها را با ماتریس سوخت از طریق مکانیسم‌های به دام انداختن و انحلال مجدد، همراه با انتشار خالص اتم‌های گاز به سمت مرزهای دانه مبدله می‌کنند. در مرزهای دانه، جمعیتی از حباب‌های بین‌دانه‌ای به وجود می‌آیند، که ممکن است به هم متصل شوند و رشد کنند، در نهایت یک مسیر متصل به ناحیه آزاد میله تشکیل دهنده باشد. آزاد شدن گازهای حاصل از شکافت می‌شوند. این حباب‌های ناشی از گازهای حاصل از شکافت مسئول تورم گازی سوخت هستند. به علت انحلال کم در ماتریس سوخت، این گازها تمايل دارند به صورت حباب در داخل دانه و نیز مرزدانه‌ها رسوب نمایند. برای بررسی بهتر رفتار گازهای زنون در سوخت هسته‌ای، پدیده‌های فیزیکی قابل بررسی به فرایندهای درون‌دانه‌ای و مرزدانه تقسیم‌بندی می‌شوند. با تشکیل گاز زنون حاصل از شکاف هسته‌ای، این اتم‌های گازی باعث تشکیل و رشد حباب‌هایی در درون‌دانه و نیز مرزدانه شده که باید مورد بررسی قرار گیرند.

هنگامی که مصرف میله‌های سوخت اکسید اورانیم (یا اورانیم-پلوتونیم) در قلب رآکتور هسته‌ای از یک مقدار معین فراتر رود، برخی از ویژگی‌های فیزیکی سوخت مانند اندازه دانه‌بندی سوخت دچار تغییرات اساسی شده که خود باعث تغییر قابل توجهی در عملکرد میله سوخت خواهد شد. این تغییرات ساختاری غالباً از حاشیه‌های لبه میله که منطقه لبه^۱ نامیده می‌شود، شروع می‌شود. دلیل اصلی این پدیده، جذب موضعی نوترون‌های فوق حرارتی توسط U_{238} می‌باشد که در

لبه میله سوخت با احتمال بیشتر انجام می‌گیرد.

با توجه به قله‌های تشیدید در سطح مقطع جذب ایزوتوب U_{238} ، چندین ایزوتوب Pu_{239} و Pu_{241} مانند Pu به خصوص در منطقه لبه متولد می‌شوند. به دلیل انباست این ایزوتوب‌ها در منطقه لبه نسبت به مناطق مرکزی، ساختار فیزیکی سوخت بسته به منطقه مورد بررسی متفاوت خواهد بود. لذا در مصرف سوخت‌های بالا، وابستگی شعاعی رفتار مصرف سوخت حتماً باید در نظر گرفته شود. قابل ذکر است که در مقداری کم و

1. Rim Zone

مجله علوم، مهندسی و فناوری هسته‌ای

دوره ۴۵، شماره ۴، جلد ۱۱۰، زمستان ۱۴۰۳، ص ۱۶۸-۱۷۸

2. Micro-Structure

3. Xenon Depletion

4. High Burnup Structure

5. Fast Breeder Reactor

6. Lassman

Journal of Nuclear Science, Engineering and Technology

Vol. 45 (1), Serial Number 110, 2025, P 168-178



۲. استخراج مدل

در ناحیه لبه صفحه سوخت هسته‌ای UO_2 ، ترکیبی از دو پدیده شامل مصرف موضعی بالای سوخت ($t_{UO_2} > 60-50$ GWd/t_{UO_2}) که باعث ایجاد آسیب زیاد در اثر تشعشع و تشکیل محصولات شکافت با غلظت بالا می‌شود) و نیز دمای پایین‌تر از ۱۰۰۰ درجه سانتی‌گراد (که به علت محدودیت در بازیابی حرارتی در اثر آسیب ناشی از تشعشع است)، یک تغییر ریزساختاری در سوخت مشاهده می‌شود که به تشکیل دانه‌بندی جدید در سوخت منجر می‌شود. تغییر ساختار در مصرف سوخت بالا، شامل چهار پدیده مشخص است [۹-۱۱]: ۱) انباسته شدن نابجایی‌ها که یک شبکه درهم‌تنیده را تشکیل می‌دهد، ۲) چندضلعی شدن یا تبلور مجدد دانه‌های میکرومتری اولیه به دانه‌های زیرمیکرومتری عاری از نقص‌های گستردگی، ۳) کاهش غلظت گازهای حاصل از شکافت درون‌دانه‌ای و ۴) تشکیل غلظت جدیدی از حباب‌های کروی بین‌دانه‌ای [۱۲]. لازم به ذکر است که رخداد این فرایندها کاملاً متوازن نبوده و ممکن است تا حدی همزمان رخ دهنند.

در قسمت اول این بخش، از داده‌های تجربی برای اندازه دانه در ساختار مصرف بالای سوخت که بر اساس اسکن تصاویر میکروسکوپ الکترونی SEM^۵ به دست آمده است، استفاده شده است. برای افزایش دقت و صحت محاسبات، اندازه‌گیری شعاع و توزیع متوسط دانه‌های سوخت، علاوه‌بر ناحیه لبه (شامل تبلور مجدد) در نواحی مرکز سوخت (با ساختار اولیه) صورت گرفته است. نمونه سوخت مورد بررسی در این تحقیق، سوخت تابش دیده یک رآکتور تجاری PWR است [۱۳]. برای محاسبه مصرف سوخت شعاعی^۶ و نیز مصرف سوخت مؤثر^۷، از مدل TUBRNP موجود در کد محاسباتی TRANSURANUS^۸ استفاده شده است [۱۴، ۱۵]. بررسی‌ها نشان می‌دهد که برای محاسبه پارامترهای سوخت در زمان تجمع آسیب‌های ناشی از مصرف سوخت بالا و نیز دمای پایین، مصرف سوخت مؤثر (b_{UEff}) استفاده می‌شود. از این‌رو، مصرف سوخت مؤثر، در مقایسه با مصرف سوخت موضعی، کمیت مناسب‌تری برای تعیین آستانه تشکیل HBS است. مصرف سوخت از مؤثر رابطه ۱ به دست می‌آید [۱۶، ۱۷].

دروندانه‌ای در کارکرد بالای سوخت استفاده شده است. این مدل در کد محاسباتی TRANSURANUS پیاده‌سازی شده است [۲، ۳]. در تحقیقی مشابه، جرن کویست^۱ با در نظر گرفتن یک پارامتر حدی جهت محاسبه حد آستانه تشکیل HBS در مصرف بالای سوخت، یک مدل توسعه یافته‌تر از لاسمن برای پیش‌بینی رفتار گاز زنون پیشنهاد داده است که در کدهای محاسباتی مانند FRABCON/FRABTRAN پیاده‌سازی گردیده است [۴].

همچنین LMS^۲ و همکاران، با توسعه روابط نیمه‌تجربی و مکانیکی برای بررسی تخلخل‌های ایجاد شده در HBS، یک مدل توسعه یافته‌تر از مدل لاسمن را ارایه داده که در کد محاسباتی DIONISIO پیاده‌سازی شده است [۵، ۶]. علاوه بر مدل‌های تجربی و نیمه‌تجربی فوق، مدل‌های مکانیکی دیگر نیز برای توصیف تشکیل ریزساختارها و تبلور مجدد توسعه داده شده است. رست^۳ یک مدل مکانیکی با در نظر گرفتن تکامل شبکه‌های نابجایی سلولی^۴ به عنوان هسته‌های تبلور مجدد و تعامل آنها با حباب‌های درون‌دانه‌ای پیشنهاد کرده است [۳]. همچنین وشچونوف و ستاک [۷] مدلی را برای ارزیابی نقص‌های نقطه‌ای، خطی و حجمی تحت تابش پیشنهاد کردند. پارامتر کلیدی تعیین‌کننده تشکیل HBS چگالی پیش‌بینی شده نابه‌جایی است که با مقدار آستانه به دست آمده از داده‌های تجربی برای اعلام تشکیل HBS مقایسه می‌شود [۸].

در این تحقیق با توجه به تجربه‌های به دست آمده در زمینه توسعه و پیاده‌سازی مدل‌های پیش‌بینی رفتار گازهای حاصل از شکافت، دو مدل برای شبیه‌سازی تبلور مجدد در ساختار سوخت در هنگام تشکیل HBS و تخلیه گاز شکافت درون دانه‌ای مورد بررسی قرار گرفته است. مدل‌های توسعه داده شده این قابلیت را دارد که هم به تنها‌یی مورد استفاده قرار گیرند و رفتار گاز حاصل شکافت را در مقیاس میانی (مزو) مورد ارزیابی قرار دهند، و هم این‌که می‌توانند به عنوان یک زیر روال برای پیش‌بینی رفتار گاز حاصل از شکافت، در کدهای تحلیل عملکرد سوخت فراخوانی شود. لذا هدف نهایی از تکمیل این کد استفاده از آن در کد تحلیل عملکرد سوخت FRAPCON می‌باشد. همچنین در ادامه مدل پیاده‌سازی شده برای بررسی رفتار گازهای بین‌دانه‌ای تشریح شده است.

1. Jernkvist

2. Lemes

3 Rest

4. Cellular Dislocation Networks

5. Scanning Electron Microscopy

6. Radial Burnup

7. Effective Burnup

Journal of Nuclear Science, Engineering and Technology

Vol. 45 (1), Serial Number 110, 2025, P 168-178



در مدل مذکور مختصات شعاعی نسی (ρ) به صورت تغییرات شعاع دانه در ناحیه HBS (r) به شعاع دانه در ناحیه اولیه (a)؛ ناحیه قبل از HBS (تعیین می‌شود: $r/a = \rho$)، بنابراین معادله انتشار گاز درون دانه‌ای به صورت زیر خواهد بود [۲۱].

$$\begin{aligned} \frac{\partial c_i}{\partial bu_{eff}} &= \frac{D}{a} \frac{1}{\rho} \frac{\partial}{\partial \rho} \rho \frac{\partial}{\partial \rho} c_i + y \dot{F} \\ IC \quad c_i(\rho, bu_{eff}) &= c_i^o(\rho) \\ BC \quad \left\{ \begin{array}{l} c_i(1, bu_{eff}) = 0 \\ \left[\frac{\partial c_i}{\partial \rho} \right] = 0 \end{array} \right. \end{aligned} \quad (3)$$

که در آن y غلظت گاز حاصل از شکافت درون دانه‌ای، D ضریب پخش مؤثر، ($\text{wt. \% f}_{\text{iss}}$) ($\mu\text{m}^2 \text{Gd}/t_{\text{UO}_2}$) نرخ شکافت و ($f_{\text{iss}}/\text{m}^3 \text{s}$) F نرخ شکافت می‌باشد.

ترکیب معادلات ۲، ۳ منجر به مدلی برای تکامل اندازه دانه و کاهش گاز حاصل از شکافت درون دانه‌ای (زنون) در HBS می‌شود. طبق این مدل، با افزایش مصرف سوخت، اندازه شعاع دانه کاهش یافته که منجر به افزایش نرخ پخش گاز زنون از درون دانه به مرزدانه می‌شود. بنابراین در ناحیه HBS، فرایند تهی شدن گاز زنون درون دانه‌ای رخ می‌دهد.

۲.۲ مدل ۲: ارائه رابطه نیمه‌تجربی برای میزان حجم تغییر ساختار یافته در HBS

در این مدل، برخلاف مدل اول که در آن یک رابطه برای تغییرات شعاع دانه سوخت بر حسب میزان مصرف مؤثر سوخت ارائه داده شده بود، یک رابطه تجربی برای تغییرات حجم از ساختار اولیه (قبل از HBS) به ساختار HBS ارائه شده است. همچنین در این مدل برای اندازه شعاع دانه در ناحیه HBS یک مقدار حدی در نظر گرفته می‌شود. در ادامه جزئیات پیاده‌سازی این مدل ارایه شده است.

۱.۲.۲ استخراج داده برای میزان حجم تغییر ساختار یافته HBS گرچک^۲ و همکاران [۱۳] یک کار تحقیقاتی تجربی کامل و دقیقی بر روی ساختارهای HBS انجام داده‌اند. در این کار یک صفحه سوخت UO_2 در رآکتور هالدن^۳ تا مصرف سوخت متواتسط $\text{GWd}/t_{\text{UO}_2}$ ۷۶ تحت تابش قرار گرفته است. سپس با استفاده از میکروسکوپ‌های الکترونی پیشرفته، تغییرات حجم ریزساختارهای تشکیل شده از ناحیه لبه تا مرکز سوخت مورد

$$\begin{aligned} bu_{eff} &= \int H(T_{th}) dbu \\ H(T_{th}) &= \begin{cases} 1 & T \leq T_{th} \\ 0 & T \geq T_{th} \end{cases} \end{aligned} \quad (1)$$

در این رابطه، bu متغیر مصرف سوخت، T دمای سوخت و دمای آستانه برای آغاز HBS، و H تابع هویساید^۱ می‌باشد. ارائه یک مدل برای توصیف فرایند HBS نیازمند توصیف رفتار اندازه شعاع دانه از ریزساختار اولیه به ساختار تغییریافته است. روابط توصیف‌کننده تغییرات اندازه شعاع دانه با زمان (یا مصرف سوخت) می‌تواند از محاسبات مکانیکی و یا برآش با داده‌های تجربی موجود به دست آید. لازم به ذکر است علاوه‌بر مدل تغییر اندازه شعاع دانه، می‌توان از مدل تغییرات حجم کل ناحیه مورد بررسی قبل و بعد از HBS نیز استفاده کرد. در ادامه جزئیات این دو مدل توضیح داده شده است.

۱.۲ مدل ۱: ارائه رابطه نیمه‌تجربی برای اندازه شعاع دانه این مدل تشکیل HBS را با کاهش تدریجی اندازه دانه نشان می‌دهد. داده‌های تجربی برای اندازه دانه که در مرجع [۱۹، ۱۸] آمده است برای استخراج یک رابطه نیمه‌تجربی شعاع دانه سوخت بر حسب مصرف سوخت مؤثر موضعی استفاده می‌شود. معادله دیفرانسیل زیر تغییرات شعاع دانه سوخت را بر حسب تغییرات مصرف سوخت مؤثر و براساس شرایط اولیه (شعاع دانه سوخت اولیه) نشان می‌دهد [۲۰، ۱۶، ۱۷].

$$\begin{aligned} \frac{da}{dbu_{eff}} &= \frac{1}{\tau} (a - a_\infty) \\ IC \quad a(bu_{eff}) &= a_0 \end{aligned} \quad (2)$$

که در آن (μm) a شعاع دانه کروی است، bu_{eff} مصرف سوخت مؤثر موضعی بر حسب $\text{GWd}/t_{\text{UO}_2}$ و (7.0 ± 0.8) مصرف سوخت مشخصه حاکم بر نرخ تشکیل HBS بر حسب $\text{GWd}/t_{\text{UO}_2}$ و (0.03 ± 0.15) شعاع حدی دانه که در مصرف بالای سوخت UO_2 دچار تبلور مجدد شده‌اند، می‌باشند. شرایط اولیه مورد استفاده در معادله بالا شامل: $a_0 = 5.47 \mu\text{m}$ ، $bu_{eff0} = 50 \text{ GWd}/t_{\text{UO}_2}$ می‌باشد. لازم به ذکر است که در ناحیه HBS، به دلیل پایین بودن دما، رشد حرارتی دانه ناچیز بوده و در نتیجه از آن صرف نظر شده است.

2. Gerczak

3. Halden

Journal of Nuclear Science, Engineering and Technology

Vol. 45 (1), Serial Number 110, 2025, P 168-178

1. Heaviside Function

مجله علوم، مهندسی و فناوری هسته‌ای

دوره ۴۵، شماره ۴، جلد ۱۱۰، زمستان ۳۱۴۰، ص ۱۶۸-۱۷۸



جدول ۱. کسری حجمی اندازه‌گیری شده از ناحیه تبلور مجدد [۱۳]

نامه پوشیده شعاع نسبی	مصرف سوخت مؤثر	شده با تبلور مجدد (تخمین مجدد شده زده شده)	حجم ناحیه تبلور مجدد شده
(۰)	(GWd/t _{UO₂})	(۰)	(۰)
۰,۶۳	۶۴,۷	۰,۱۵	۰,۲۲
۰,۸۲	۷۱,۲	۰,۴۱	۰,۵۴
۰,۹۴	۸۸,۴	۰,۵۴	۰,۶۹
۰,۹۵	۹۰,۸	۰,۶۱	۰,۷۶
۰,۹۹	۱۲۹,۴	۱,۰۰	۱,۰۰

۲.۲.۲ فرمولاسیون مدل برای تشکیل ساختار مصرف بالای سوخت و تهی شدن گاز شکافت

در این بخش فرمول‌بندی مدل درنظر گرفته شده برای تشکیل HBS و رفتار گاز شکافت درون‌دانه‌ای شرح داده می‌شود. توسعه HBS از طریق یک مدل نیمه‌تجربی توصیف می‌شود که کسری از سوخت تغییر ساختار یافته را به مصرف سوخت موضعی مؤثر مرتبط می‌کند.

از داده‌های استخراج شده از مراجع برای برازش عبارتی برای نرخ تشکیل HBS به عنوان تابعی از مصرف سوخت مؤثر استفاده شده است [۱۳، ۲۰]. به طور خاص، فرمول‌بندی کلموگروف-جانسون-مهل-اورامی^۱ (KJMA) برای مدل‌سازی پدیده‌های بازسازی نوعی و انتقال فاز استفاده شده است [۲۳].

$$a = 1 - \exp(-k \cdot t^\gamma) \quad (4)$$

که در آن α کسر حجمی بازسازی شده، $k(s^{-\gamma})$ ثابت نرخ تبدیل، γ ثابت آرامی^۲، و (s) زمان است. در این کار، کلیات رابطه KJMA را حفظ شده و فقط مصرف سوخت مؤثر موضعی را به جای زمان در نظر گرفته شده است. همچنین دو ثابت K و γ با روش برازش حداقل مربعات از داده‌های تجربی تعیین شده است. روش برازش، مقادیر $k = 2,77E-07$ و $\gamma = 3/35$ را به دست می‌دهد. به این ترتیب معادله^۳ ۴ به صورت زیر بازنویسی می‌شود.

$$a = 1 - \exp(-2,77 \times 10^{-7} \cdot (bu_{eff})^{3/35}) \quad (5)$$

باید توجه داشت که، اگرچه ضرایب به دست آمده ناشی از یک روش برازش است، معنای فیزیکی را حفظ می‌کنند، که نتیجه مستقیم فرمول‌بندی نظری KJMA است. در واقع، مقدار γ که در توان متغیر مصرف سوخت ظاهر می‌شود می‌تواند اطلاعاتی در مورد ماهیت انتقال فاز ارائه دهد.

1. Kolmogorov-Johnson-Mehl-Avrami (KJMA)

2. Avrami

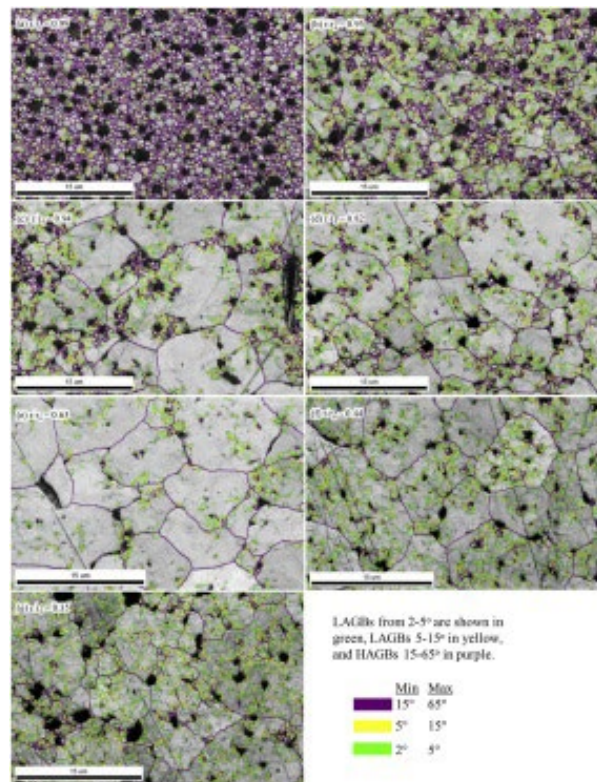
Journal of Nuclear Science, Engineering and Technology

Vol. 45 (1), Serial Number 110, 2025, P 168-178

بررسی قرار گرفته است. نتیجه پردازش تصاویر مورد بررسی توسط این گروه در شکل ۱ آورده شده است [۱۳]. با توجه به این شکل، شعاع‌های نسبی (ρ) برابر با $0,63, 0,82, 0,94$ و $0,95$ به دست آمده است. لازم به ذکر است که شعاع نسبی $0,99$ ، مربوط به زمانی است که فرایند HBS تکمیل شده است. در این حالت ریز ساختارهایی با دانه‌هایی با متوسط شعاع ۲۰۰ نانومتر مشاهده شده است. این مورد به طور کامل در شکل ۱ نشان داده شده است. اطلاعات حاصل از برازش تصویر فوق در جدول ۱ لیست شده است [۱۹، ۱۸، ۱۳].

در مدل ارایه شده در این تحقیق از داده‌های به دست آمده از جدول ۱ استفاده شده است که به طور کامل تر در مرجع [۲۰، ۲۲] آورده شده است. از آنجایی که دمای تابش نمونه کمتر از ۱۰۰۰ درجه سانتی‌گراد است، مصرف سوخت موضعی معادل مصرف سوخت مؤثر تعریف شده در معادله ۱، می‌باشد. برای تخمین مصرف سوخت به عنوان تابعی از موقعیت شعاعی از اطلاعات گزارش شده مرجع [۲۰] استفاده شده است. در مورد تابش نمونه شرایط زیر لحاظ شده است:

۱. میانگین مصرف سوخت نمونه برابر با 76 GWd/t_{UO_2} است.
۲. مصرف سوخت در لبه نمونه ۱۹ درصد بیشتر از مرکز است تا یک بهینه‌سازی عددی مشخص برای تخمین مصرف سوخت در موقعیت‌های شعاعی نمونه انجام شود.



شکل ۱. نمایش پدیده تبلور مجدد در شعاع‌های نسبی نسبت به لبه سوخت [۱۳]

مجله علوم، مهندسی و فناوری هسته‌ای

دوره ۴۵، شماره ۴، جلد ۱۱۰، زمستان ۳۱۴۰۳، ص ۱۶۸-۱۷۸



که در آن $B = \left(\frac{3\Omega}{4\pi} \right)^{\frac{1}{3}}$ و $(m^{\frac{1}{3}}\Omega)$ حجمی است که توسط یک اتم گاز شکافت در داخل حباب‌های درون‌دانه‌ای در UO_2 اشغال شده است.

در این تحقیق رویکرد شبه پایا اتخاذ شده است، بدین معنی که نرخ به دام انداختن و انحلال مجدد در حالت تعادل در نظر گرفته می‌شود. بنابراین، معادله (۶) برای غلظت کل گاز درون‌دانه‌ای، $c_t(m^{\frac{1}{3}}) = c + m$ به صورت زیر بازنویسی می‌شود.

$$\begin{aligned} \frac{\partial c_t}{\partial t} &= D_{\text{eff}} \nabla^3 c_t + y \dot{F} \\ \frac{\partial N}{\partial t} &= v - b_n N \end{aligned} \quad (8)$$

که در آن $D_{\text{eff}} = \frac{D.b}{b+g}$ ضریب پخش مؤثر است. باید تأکید کرد که این رویکرد، یعنی حل یک معادله پخش منفرد با در نظر گرفتن ضریب پخش مؤثر (معادله ۸) به جای حل معادله ۶، رویکردی است که در حال حاضر در کدهای پیشرفته عملکرد سوخت اتخاذ شده است [۲۴، ۲۶] و در اکثر شرایط کارکرد عادی و حداثه استفاده می‌شود.

با این حال، این مدل محدودیت‌هایی در مدل‌سازی فرایندهای گذراي سريع در دماهای نسبتاً بالا مانند حوادث ناشی از اعمال راکتیویته^۲ (RIA) دارد [۲۷]. لازم به ذکر است که کل محاسبات این تحقیق در دمای ۱۰۰۰ درجه سانتی‌گراد که همان دمای آستانه می‌باشد، انجام شده است. تا زمانی که فرایند HBS به طور کامل شکل نگرفته است، ساختار سوخت موردنظر شامل دو فاز ریزساختار اولیه (میکرومتری) و ناحیه HBS (زیر میکرومتری) است. لذا معادله توصیف‌کننده غلظت کلی گاز، c_t^* ، این ساختار دو فازی از دو بخش اصلی تشکیل شده است.

$$c_t^* = (1-\alpha).c_t^{\text{NR}} + \alpha.c_t^{\text{HBS}} \quad (9)$$

که در این معادله، بالاترین‌های NR و HBS به ترتیب نواحی ریزساختار اصلی و HBS اشاره دارند. با افزایش مصرف سوخت، انتقال گازهای زنون از منطقه با ساختار اولیه (منطقه با دانه‌های میکرومتری) به سمت منطقه با ساختار HBS (منطقه با دانه‌های زیرمیکرومتری) افزایش می‌یابد. تغییرات غلظت گاز زنون حاصل از این انتقال با تغییرات مصرف سوخت مؤثر از معادله زیر پیروی می‌کند.

۳.۰.۲ مدل‌سازی تهی شدن گاز حاصل از شکافت در HBS همان‌طور که انتظار می‌رود مدل به دست آمده سرانجام در کدهای عملکرد سوخت گنجانده می‌شود. در این تحقیق دامنه حل به صورت یک تک‌دانه^۱ در نظر گرفته می‌شود. معادله (۵) برای تعیین میزان کسر حجمی که تحت بازسازی در پدیده HBS قرار گرفته است، اتخاذ شده است. در این مدل دو فاز در نظر گرفته می‌شود که شامل ریزساختار اصلی و HBS است. این دو فاز با اندازه دانه‌های مختلف مشخص می‌شوند. ریزساختار اصلی معمولاً دارای دانه‌های با اندازه میکرومتری است، درحالی که شعاع دانه‌ها در HBS برابر با ۱۵۰ نانومتر است [۱۸]. در هر دو فاز، رفتار گاز درون‌دانه‌ای از طریق مدل مکانیکی توصیف می‌شود که در آن محاسبه پدیدهای شامل: هسته‌زایی حباب گاز حاصل از شکافت درون‌دانه‌ای، رشد به دلیل به دام افتادن اتم گاز، تخریب ناشی از برهم‌کنش با پاره‌های شکافت، و انتشار اتم‌های گازی از درون دانه به سمت مرزهای دانه درنظر گرفته می‌شود.

این معادله مکانیکی به صورت زیر می‌باشد [۲۴، ۲۵].

$$\begin{aligned} \frac{\partial c}{\partial t} &= D \nabla^3 c - g_n c + b_n m - v + y \dot{F} \\ \frac{\partial m}{\partial t} &= v + g_n c - b_n m \\ \frac{\partial N}{\partial t} &= v - b_n N \end{aligned} \quad (6)$$

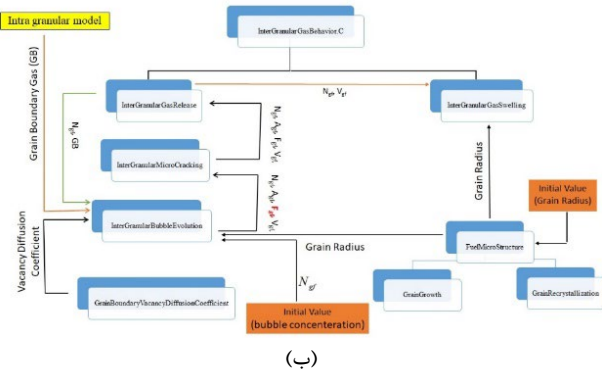
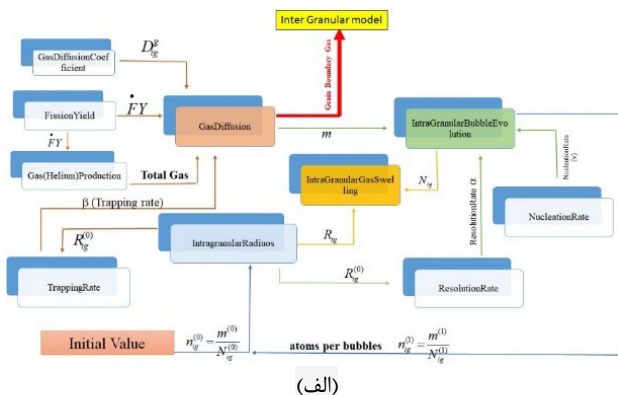
که در آن $D(\text{m}^3 \text{s}^{-1})$ ضریب پخش گاز تک اتمی، $c (\text{atom/m}^3)$ غلظت گاز تک اتمی، $m (\text{atom/m}^3)$ غلظت گاز درون حباب‌ها، $N (\text{bubble/m}^3)$ چگالی تعداد حباب‌ها، $v (\text{s}^{-1})$ نرخ به دام انداختن، $g_n (\text{s}^{-1})$ نرخ انحلال مجدد، $b_n (\text{atom/fiss})$ نرخ هسته‌زایی حباب، $y (\text{atom/fiss})$ چگالی نرخ شکافت است. میانگین تعداد اتم‌ها در یک حباب، n ، و شعاع حباب‌ها $R(\text{m})$ ، و تورم حاصل از آنها، $\left(\frac{\Delta V}{V_0} \right)_{ig}$ به صورت زیر تعریف می‌شوند.

$$\begin{aligned} n &= \frac{m}{N} \\ R &= Bn^{\frac{1}{3}} \\ \left(\frac{\Delta V}{V_0} \right)_{ig} &= \frac{4}{3} \pi R^3 N \end{aligned} \quad (7)$$



MSFGR، رفتار گاز حاصل از شکافت را در مصرف سوخت پایین توصیف می‌کند.

برای اجرای کد مورد نظر، نیاز به وارد کردن مقادیر اولیه پارامترهای به کار رفته در مدل می‌باشد. این مقادیر در جدول ۲ ذکر شده است.



شکل ۲. شماتیکی از ارتباط بین زیرروال‌های کد MSFGR جهت مدل‌سازی رفتار گازهای حاصل از شکافت در سوخت‌های هسته‌ای که در ۲ دسته (الف) درون‌دانه‌ای و (ب) بین‌دانه‌ای نشان داده شده است.

جدول ۲. مقادیر اولیه برای اجرای مدل مورد نظر

رده	پارامتر	مقادیر اولیه
۱	مقدار اولیه شعاع دانه (μm)	۷
۲	مقدار اولیه گاز تولیدی (at/m^3)	۰
۳	مقدار اولیه گاز موجود در دانه (at/m^3)	۰
۴	مقدار اولیه گاز موجود در ساختار سوخت (at/m^3)	۰
۵	مقدار اولیه گاز موجود در حباب درون‌دانه‌ای (at/m^3)	۰
۶	مقدار اولیه گاز موجود در حباب مرز دانه (at/m^3)	۰
۷	مقدار اولیه رهایش گاز (at/m^3)	۰
۸	مقدار اولیه مصرف سوخت (MWd/kgUO_2)	۰
۹	مقدار اولیه مصرف مؤثر سوخت (MWd/kgUO_2)	۰
۱۰	مقدار اولیه دانسیته سوخت (kg/m^3)	۱۰.۹۷۰

$$\left. \frac{\partial c_t^{HBS}}{\partial bu_{eff}} \right|_R = \frac{1}{\alpha} \frac{d\alpha}{dbu_{eff}} (c_t^{NR} - c_t^{HBS}) + \frac{1-\alpha}{\alpha} \frac{\partial c_t^{NR}}{\partial bu_{eff}} \quad (10)$$

در این معادله اولین جمله سمت راست نشان‌دهنده انتقال مؤثر گاز بین دو منطقه به دلیل تغییر ساختار است. در استخراج معادله ۱۰، فرض شده است که فرایند تکامل غلظت گاز درون‌دانه‌ای (که از معادله ۸ محاسبه می‌شود) از اثرات ساختار بازسازی شده، مستقل است. علاوه بر این، فرض شده است که غلظت کل گاز در حجم دانه در طول فرایند بازسازی ثابت است. کاهش شعاع دانه‌ها در کنار افزایش تدریجی حجم ناحیه HBS باعث فرایند تهی شدن گاز زنون از درون دانه به سمت مرزدانه در حین تشکیل HBS می‌شود.

۳. رفتار گاز بین‌دانه‌ای

در این مرحله مدل مورد استفاده برای بررسی رفتار گازهای حاصل از شکافت سوخت در مرزدانه‌ای دانه مورد بررسی قرار می‌گیرد. مدل مرزدانه‌ای مورد استفاده در این کد محاسباتی به عنوان مدل اصلی در برخی از کدهای عملکرد سوخت مانند نیز TRANSURANUS و BISON پیاده‌سازی شده است. بعد از فرایند شکافت هسته‌ای و تشکیل حباب‌های درون‌دانه‌ای، گازهای اتمی به سمت مرزهای دانه حرکت کرده و تشکیل حباب بین‌دانه‌ای می‌دهند. بنابراین تشکیل حباب‌ها روی مرزدانه به نرخ انتقال اتم‌های گازی که از درون‌دانه به مرزدانه می‌رسند بستگی دارد. غلظت گازهای مرزدانه (q) از رابطه زیر به دست می‌آید [۲۸]:

$$\frac{\partial}{\partial t} q = - \left[\frac{3}{a} \frac{\alpha}{\alpha + \beta} D \frac{\partial}{\partial r} (c_i + m) \right]_{r=a} - R \quad (11)$$

در این معادله a شعاع متوسط دانه‌های سوخت، R میزان گاز رها شده از مرزدانه و c_i غلظت گازهای تک اتمی می‌باشد. ارتباط بین زیرروال‌های کد MSFGR در شکل ۲ نشان داده شده است.

۴. نتایج

در این بخش، نتایج مدل ارائه شده برای پیش‌بینی رفتار گاز زنون بر حسب تابعی از مصرف سوخت مؤثر با داده‌های تجربی موجود مقایسه شده است. برای به دست آوردن نتایج، مدل مذکور تحت عنوان کد محاسباتی MSFGR در زبان برنامه‌نویسی C++ توسعه یافته است. نسخه اولیه کد محاسباتی



رابطه برای شعاع دانه سوخت بر حسب میزان مصرف مؤثر سوخت ارائه داده شده، یک رابطه تجربی برای میزان پوشش حجمی سوخت از پدیده HBS ارائه شده است. همچنین در مدل ۲ برای اندازه شعاع دانه در ناحیه HBS یک مقدار حدی در نظر گرفته می‌شود. این مدل یک توصیف پایدار و پیوسته از تشکیل HBS و رفتار گاز شکافت درون‌دانه‌ای وابسته به آن را ارائه می‌دهد. در این شکل نتایج مربوط به دو مدل نیز با یکدیگر مقایسه شده است. به طور کلی در مدل ۱، انتشار گاز زنون از درون‌دانه به سمت مرزدانه کمتر از مدل ۱ به دست آمده است. از آنجا که فرایند شکافت و تولید گاز زنون در هر دو مدل یکسان است، در نتیجه به ازای یک مصرف سوخت یکسان، مدل ۱ مقدار کمی گاز زنون درون‌دانه‌ای را ببیشتر نشان می‌دهد. از طرف دیگر، نتایج به دست آمده نشان می‌دهد که برای هر دو مدل مذکور، با افزایش اندازه‌ای دانه از ۵ به ۷/۵ میکرومتر، انتقال گاز زنون از درون‌دانه به سمت مرزدانه کاهش یافته است. این بدان علت است که دانه‌های کروی با شعاع و حجم بزرگتر، توانایی ذخیره گاز زنون بیشتر را دارند. لازم به ذکر است که در این شکل برای محاسبه درصد وزنی گاز زنون از رابطه زیر استفاده شده است.

$$Xe(Wt\%) = \frac{\rho_{atm,int}^{Xe} (atm/m^3) \times M^{Xe} (g/mol)}{N (mol)} \times \frac{100}{\rho_g^{UO_2} (g/m^3)} \quad (12)$$

که در این رابطه $\rho_{atm,int}^{Xe}$ چگالی تعداد گاز زنون درون‌دانه‌ای (تعداد اتم بر واحد سطح)، M^{Xe} جرم مولی گاز زنون (۱۳۱.۲۹۳ g/mol)، N عدد آورگادر و $\rho_g^{UO_2}$ چگالی جرمی سوخت (10.970000 g/m^3) است.

جدول ۳. بیان پارامترهای مدل

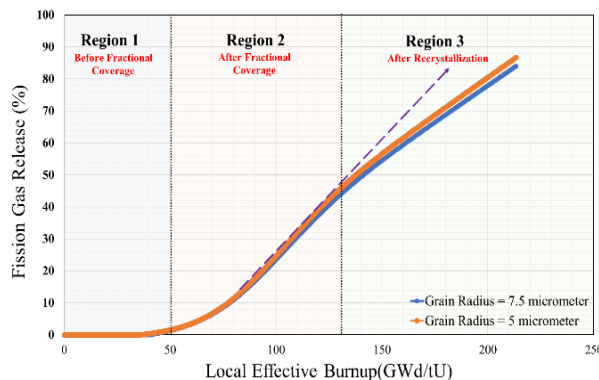
پارامتر	توضیح	مرجع
D_{NR}	$D_{NR} = D_i + D_r + D_f$	
D_{NR}	$D_i = 7.6 \times 10^{-11} \exp(-4.86 \times 10^{-14} / k_B T)$	[۲۹]
D_{NR}	$D_r = 5.64 \times 10^{-15} \exp(-1.91 \times 10^{-14} / k_B T)$	
D_{NR}	$D_f = 2.0 \times 10^{-5} \times \dot{F}$	
D_{HBS}	$D_{HBS} = 4.5 \times 10^{-11} \times \dot{F}$	[۳۱، ۳۰]
g_n	$g_n = 4\pi DNR(n)$	[۳۲]
b_n	$b_n = 2\pi\mu_{ff}\dot{F}(R(n) + R_{ff})$	
b_n	$\mu_{ff} = 6.0 \times 10^{-9}$	[۳۳]
R_{ff}	$R_{ff} = 1.0 \times 10^{-9}$	
V	$V = 2.25 \times 10^{-12} \times \dot{F}$	[۳۵، ۳۴]
Ω	$\Omega = 4.09 \times 10^{-29}$	
a	$a = 5.47 \times 10^{-10}$	

همان‌طور که در این جدول مشخص است مقادیر اولیه اکثر پارامترهای مدل صفر می‌باشد، زیرا مدل مورد نظر شبیه‌سازی را را از مصرف سوخت صفر انجام می‌دهد. همچنین پارامترهای مورد استفاده در این کد برای شبیه‌سازی رفتار سوخت تحت تابش ذکر شده در بخش ۲، در جدول ۳ آمده است. باید یادآور شد که HBS تنها در قسمتی از سوخت تشکیل می‌شود که دمای آن کمتر از دمای آستانه (حدود ۱۰۰۰ درجه سانتی‌گراد) می‌باشد، که معمولاً شامل نواحی لبه سوخت در رآکتورهای LWR و همچنین رآکتورهای تحقیقاتی است.

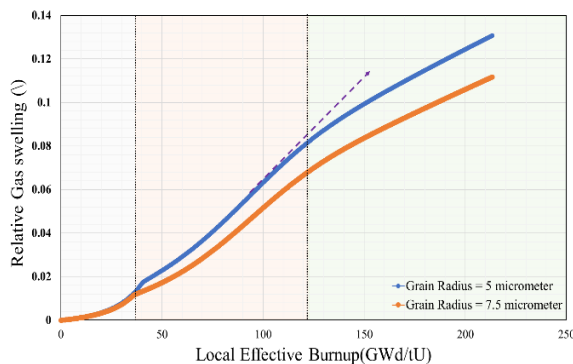
همان‌طور که در جدول ۳ نشان داده شده است، ضریب پخش در ناحیه HBS از ناحیه ریزساختار اصلی متفاوت درنظر گرفته شده است تا بتوان توصیف دقیقی از غلظت گاز باقی‌مانده در شبکه سوخت ارائه داد. همچنین باید خاطر نشان کرد که میزان نرخ شکافت برابر $F = 1.0 \times 10^{-19} \text{ s}^{-1} \text{ m}^3 \text{ s}$ می‌باشد.

تغییرات غلظت گاز زنون درون‌دانه‌ای تا مصرف سوخت بالا به دست آمده از مدل‌های مورد بررسی در این تحقیق، در شکل ۳ رسم و با داده‌های تجربی مقایسه شده است. شعاع دانه‌های اولیه سوخت در این تحقیق، ۵ و ۷/۵ میکرومتر درنظر گرفته شده است. همان‌طور که در این شکل نشان داده شده است، نتایج حاصل از محاسبات در این تحقیق روند کلی نتایج تجربی را نشان می‌دهد. به هر حال انحراف کمی از نتایج تجربی می‌تواند حاصل از شرایط متفاوت اندازه‌گیری داده‌های تجربی باشد که امکان فراهم کردن دقیق یک به یک آنها در اینجا امکان‌پذیر نیست. طبق شکل ارایه شده، تغییرات غلظت گاز زنون درون‌دانه‌ای حاصل از شکافت، از مصرف سوخت صفر تا مصرف سوخت تا حدود 5.0 GWd/t_{UO_2} یعنی شروع فرایند HBS، افزایش یافته است. بعد از آن، غلظت گاز زنون درون‌دانه‌ای به شدت کاهش می‌یابد. دلیل این امر آن است که بعد از این مصرف سوخت، فرایند باز تبلور شروع شده و دانه‌های میکرومتری به سمت دانه‌های نانومتری باز تبلور می‌شوند. لذا در این شرایط، توانایی ذخیره گاز زنون درون‌دانه‌ای کاهش یافته و با افزایش انتقال گاز زنون از درون‌دانه به سمت مرزدانه، غلظت گاز زنون درون‌دانه‌ای کاهش می‌یابد. این فرایند را فرایند تهی شدن زنون هم می‌نامند. در انتهای در مصرف سوخت‌های بسیار بالا در حدود بعد از $12.0 \text{ GWd/t}_{UO_2}$ ، غلظت گاز درون‌دانه‌ای نسبتاً ثابت باقی می‌ماند. در این حالت میزان تولید گاز زنون و انتقال آن از درون‌دانه به سمت مرزدانه تقریباً برابر است. همان‌طور که در قسمت‌های قبلی اشاره شد، برای بررسی فرایند HBS، دو مدل بر پایه تغییر اندازه شعاع دانه (مدل ۱) و نیز تغییرات حجم ناحیه HBS (مدل ۲) در کد محاسباتی گنجانده شده بود. به عبارت دیگر، در مدل ۲ برخلاف مدل ۱ که در آن یک





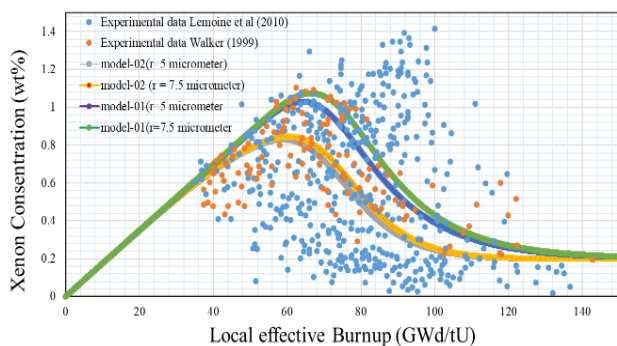
شکل ۴. تغییرات درصد رهایش گاز زنون بر حسب مصرف سوخت مؤثر.



شکل ۵. تغییرات تورم نسبی بر حسب مصرف سوخت مؤثر.

۵. نتیجه‌گیری

رفتار گازهای حاصل از شکافت (گاز زنون) و تأثیر آن بر خواص سوخت تحت تابش تا مصرف سوخت بالا مدل‌سازی و به کد محاسباتی بر پایه زبان C++ در مقیاس میانی (مزو) الحاق شده است. فرایند مصرف سوخت بالا شامل پدیده‌های مختلفی از جمله فرایند باز تبلور دانه‌ها و تهی شدن غلظت زنون درون‌دانه‌ای است که در این تحقیق مورد بررسی قرار گرفته و مدل‌سازی شده است. برای بررسی پدیده مصرف سوخت بالا، از دو مدل مجزا جهت توصیف ناحیه HBS سوخت استفاده شده است. در نهایت تغییرات غلظت گاز زنون، تورم نسبی و رهایش گاز تا مصرف سوخت بالا توسط مدل مورد نظر بررسی و نتایج آن با داده‌های تجربی موجود مقایسه شده است. نتایج حاصل از مدل‌های ارایه شده در این کد محاسباتی، روند کلی نتایج تجربی را تأیید می‌کند. نتایج کد توسعه یافته، روند فرایند تهی شدن زنون را که از نتایج فرایند HBS است، به درستی نشان می‌دهد. همچنین نتایج حاصله نشان می‌دهد که در مصرف سوخت بالا، فرایند تبلور مجدد دانه‌های سوخت بر شیب تغییرات رهایش گاز و نیز تورم نسبی تأثیرگذار است. همچنین در این تحقیق اثر اندازه دانه بر رفتار سوخت هسته‌ای در مصرف سوخت بالا نیز مورد بررسی قرار گرفته است. نتایج نشان می‌دهد که با افزایش اندازه شعاع دانه، فرایند انباشت گاز درون‌دانه‌ای نیز افزایش می‌یابد.



شکل ۳. مقایسه غلظت گاز درون‌دانه‌ای حاصل از مدل‌های ارائه شده در این تحقیق و داده‌های تجربی [۳۷، ۳۶].

در شکل ۴ درصد رهایش گاز زنون بر حسب مصرف سوخت مؤثر نشان داده شده است. برای درک بهتر رهایش گاز، تغییرات این کمیت به ۳ ناحیه تقسیم شده است. در ناحیه اول (کمتر از ۵۰ GWd/t_{UO}₂)، چون میزان غلظت گاز زنون به حد اشباع موردنظر نرسیده است، لذا فرایند رهایش گاز از مرزدانه اتفاق نیافرته است. در این ناحیه تمام غلظت گاز زنون ایجاد شده به صورت گازهای تک اتمی و یا حباب‌های گازی در درون‌دانه و مرزدانه قرار می‌گیرند. بعد از رسیدن به حد اشباع (ناحیه بین ۵۰ تا ۱۲۰ GWd/t_{UO}₂)، فرایند رهایش گاز شروع شده و با افزایش مصرف سوخت با شیب نسبتاً زیادی افزایش می‌یابد. در نهایت، در ناحیه سه یعنی جایی که فرایند تبلور مجدد و تشکیل ریز ساختارها تا حدودی کامل شده است، شیب تغییرات درصد رهایش گاز تا حدی کاهش می‌یابد. این نشان می‌دهد که فرایند HBS بر روی شیب تغییرات رهایش گاز مؤثر است.

شکل ۵ تغییرات نسبی تورم سوخت را بر حسب مصرف سوخت مؤثر نشان می‌دهد. در این شکل نیز برای درک بهتر فرایند تورم در اثر پدیده‌های مختلف، ۳ ناحیه یعنی، قبل از فرایند رهایش، بعد از فرایند رهایش و بعد از فرایند باز تبلور، درنظر گرفته شده است. قبل از فرایند رهایش، تورم نسبی با افزایش مصرف سوخت افزایش می‌یابد، که این به دلیل تشکیل حباب‌های گاز زنون حاصل از شکافت در درون و مرزدانه است. بعد از فرایند رهایش گاز (نزدیک به ۵۰ GWd/t_{UO}₂)، یک شکستگی در منحنی تغییرات تورم ایجاد شده است که نشان‌دهنده شروع فرایند رهایش گاز است. در نهایت بعد از فرایند تبلور مجدد در مصرف سوخت بالا، شیب تغییرات تورم نسبی نیز تا حدودی تغییر کرده است.



مراجع

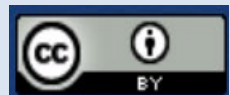
1. Soba A, Denis A, Romero L, Villarino E, Sardella F. A high burnup model developed for the DIONISIO code. *Journal of Nuclear Materials*. 2013;433(1-3):160-166.
2. Lassmann K. TRANSURANUS: a fuel rod analysis code ready for use. *Journal of Nuclear Materials*. 1992;188:295-302.
3. Rest J. A model for the influence of microstructure, precipitate pinning and fission gas behavior on irradiation-induced recrystallization of nuclear fuels. *Journal of Nuclear Materials*. 2004;326(2-3):175-184.
4. Jernkvist L.O. Modelling of fine fragmentation and fission gas release of UO₂ fuel in accident conditions. *EPJ Nuclear Sciences & Technologies*. 2019;5:11.
5. Denis A, Soba A. Simulation of pellet-cladding thermomechanical interaction and fission gas release. *Nuclear Engineering and Design*. 2003;223(2):211-229.
6. Lemes M, Soba A, Denis A. An empirical formulation to describe the evolution of the high burnup structure. *Journal of Nuclear Materials*. 2015;456:174-181.
7. Veshchunov M, Shestak V. Model for evolution of crystal defects in UO₂ under irradiation up to high burn-ups. *Journal of Nuclear Materials*. 2009;384(1):12-18.
8. Nogita K, Une K. Irradiation-induced recrystallization in high burnup UO₂ fuel. *Journal of Nuclear Materials*. 1995;226(3):302-310.
9. Cunningham M, Freshley M, Lanning D. Development and characteristics of the rim region in high burnup UO₂ fuel pellets. *Journal of Nuclear Materials*. 1992;188:19-27.
10. Baron D, Kinoshita M, Thevenin P, Largenton R. Discussion about HBS transformation in high burn-up fuels. *Nuclear Engineering and Technology*. 2009;41(2):199-214.
11. Rondinella V.V, Wiss T. The high burn-up structure in nuclear fuel. *Materials Today*. 2010;13(12):24-32.
12. Spino J, Vennix K, Coquerelle M. Detailed characterisation of the rim microstructure in PWR fuels in the burn-up range 40–67 GWd/tM. *Journal of Nuclear Materials*. 1996;231(3):179-190.
13. Gerczak T.J, Parish C.M, Edmondson P.D, Baldwin C.A, Terrani K.A. Restructuring in high burnup UO₂ studied using modern electron microscopy. *Journal of Nuclear Materials*. 2018;509:245-259.
14. Lassmann K, Walker C.T, Van de Laar J, Lindström F. Modelling the high burnup UO₂ structure in LWR fuel. *Journal of Nuclear Materials*. 1995;226(1-2):1-8.
15. Schubert A, Van Uffelen P, Van de Laar J, Walker C.T, Haeck W. Extension of the TRANSURANUS burn-up model. *Journal of Nuclear Materials*. 2008;376(1):1-10.
16. Khvostov G, Novikov V, Medvedev A, Bogatyr S. Approaches to modeling of high burn-up structure and analysis of its effects on the behaviour of light water reactor fuels in the START-3 fuel performance code. *Japan: N.p.* 2005.
17. Holt L, Schubert A, Van Uffelen P, Walker C.T, Fridman E, Sonoda T. Sensitivity study on Xe depletion in the high burn-up structure of UO₂. *Journal of Nuclear Materials*. 2014;452(1-3):166-172.
18. Ray I. Observation of a high burnup rim-type structure in an advanced plutonium–uranium carbide fuel. *Journal of Nuclear Materials*. 1997;250(2-3):242-243.
19. Spino J, Stalios A.D, Santa Cruz H, Baron D. Stereological evolution of the rim structure in PWR-fuels at prolonged irradiation: Dependencies with burn-up and temperature. *Journal of Nuclear Materials*. 2006;354(1-3):66-84.
20. Noirot J, Pontillon Y, Yagnik S, Turnbull J.A. Post-irradiation examinations and high-temperature tests on undoped large-grain UO₂ discs. *Journal of Nuclear Materials*. 2015;462:77-84.
21. Lassmann K. Numerical algorithms for intragranular diffusional fission gas release incorporated in the TRANSURANUS code. in *Proceedings of International Seminar on Fission Gas Behavior in Water Reactor Fuels*. Cadarache. France. 2000.
22. Noirot J, Lamontagne J, Nakae N, Kitagawa T, Kosaka Y, Tverberg T. Heterogeneous UO₂ fuel irradiated up to a high burn-up: Investigation of the HBS and of fission product releases. *Journal of Nuclear Materials*. 2013;442(1-3):309-319.
23. Kolmogorov A.N. On the statistical theory of the crystallization of metals. *Bull. Acad. Sci. USSR, Math. Ser.* 1937;1(3):355-359.
24. Rest J, Cooper M.W.D, Spino J, Turnbull J.A, Van Uffelen P, Walker C.T. Fission gas release from UO₂ nuclear fuel: A review. *Journal of Nuclear Materials*. 2019;513:310-345.
25. Van Uffelen P, Hales J, Li W, Rossiter G, Williamson R. A review of fuel performance modelling. *Journal of Nuclear Materials*. 2019;516:373-412.
26. Van Uffelen P, Hales J, Li W, Rossiter G, Williamson R. A review of fuel performance modelling. *Journal of Nuclear Materials*. 2018;516(INL/JOU-18-45934-Rev000).
27. Pastore G, Pizzocri D, Rabiti C, Barani T, Van Uffelen P, Luzzi L. An effective numerical algorithm for intra-granular fission gas release during non-equilibrium trapping and resolution. *Journal of Nuclear Materials*. 2018;509:687-699.



28. Pizzocri D, Pastore G, Barani T, Magni A, Luzzi L, Van Uffelen P, Pitts S.A, Alfonsi A. A model describing intra-granular fission gas behaviour in oxide fuel for advanced engineering tools. *Journal of Nuclear Materials*. 2018;502:323-330.
29. Turnbull J.A, Friskney C.A, Findlay J.R, Johnson F.A, Walter A.J. The diffusion coefficients of gaseous and volatile species during the irradiation of uranium dioxide. *Journal of Nuclear Materials*. 1982;107(2-3):168-184.
30. Bre' Mier S, Walker C. Radiation-enhanced diffusion and fission gas release from recrystallised grains in high burn-up\hbox {UO}_₂ nuclear fuel. *Radiation Effects and Defects in Solids*. 2002;157(3):311-322.
31. Pizzocri D, Cappia F, Luzzi L, Pastore G, Rondinella V.V, Van Uffelen P. A semi-empirical model for the formation and depletion of the high burnup structure in UO₂. *Journal of Nuclear Materials*. 2017;487:23-29.
32. Ham F.S. Theory of diffusion-limited precipitation. *Journal of Physics and Chemistry of Solids*. 1958;6(4):335-351.
33. Turnbull J. The distribution of intragranular fission gas bubbles in UO₂ during irradiation. *Journal of Nuclear Materials*. 1971;38(2):203-212.
34. Pizzocri D, Barani T, Bruschi E, Luzzi L, Van Uffelen P, Pastore G. Modelling of burst release in oxide fuel and application to the Transuranus code. 2015.
35. White R, Tucker M. A new fission-gas release model. *Journal of Nuclear Materials*. 1983;118(1):1-38.
36. Walker C.T. Assessment of the radial extent and completion of recrystallisation in high burn-up UO₂ nuclear fuel by EPMA. *Journal of Nuclear Materials*. 1999;275(1):56-62.
37. Lemoine F, Baron D, Blanpain P. Key parameters for the High Burnup Structure formation thresholds in oxide fuels. in Proc. of the LWR Fuel Performance/TopFuel/WRFPM conference. 2010.

COPYRIGHTS

©2021 The author(s). This is an open access article distributed under the terms of the Creative Commons Attribution (CC BY 4.0), which permits unrestricted use, distribution, and reproduction in any medium, as long as the original authors and source are cited. No permission is required from the authors or the publishers.



استناد به این مقاله

پرهمت، محمدهدادی، عباسی، مهدی. (۱۴۰۳)، توسعه و پیاده‌سازی مدل ساختار مصرف بالا در سوخت اورانیم دی‌اکساید به منظور آنالیز رفتار گازهای حاصل از شکافت. مجله علوم، مهندسی و فناوری هسته‌ای، ۱۱۰(۴)، ۱۶۸-۱۷۸.

Url: https://jonsat.nstri.ir/article_1642.html. DOI: <https://doi.org/10.24200/nst.2024.1642>.

